

# Модификация алгоритма декодирования сверточных кодов для канала с замираниями

Пятаков В. С.

Санкт-Петербургский Государственный Университет Аэрокосмического Приборостроения,  
Санкт-Петербург, Россия

# Модель канала

Сигналы частотной модуляции имеют вид

$$s_i(t) = \begin{cases} \sqrt{2E/T} \cos 2\pi f_i t, & 0 < t < T, \\ 0, & \text{иначе,} \end{cases}$$

где  $E$  – энергия сигнала,  $T$  – период следования сигналов,  $f_i$  – центральная частота  $i$ -го сигнала,  $i = 0, 1$ .

Сигнал на выходе канала с замираниями имеют вид

$$r(t) = \begin{cases} \mu \sqrt{2E/T} \cos(2\pi f_i - \theta) + n(t), & 0 < t < T, \\ 0, & \text{иначе,} \end{cases}$$

где  $\theta$  – случайный фазовый сдвиг,  $n(t)$  – аддитивный белый гауссовский шум с спектральной плотностью шума  $N_0/2$ ,  $\mu$  – случайный коэффициент передачи канала.

## Канал с памятью

$$\mu_n = \sqrt{x_n^2 + y_n^2},$$

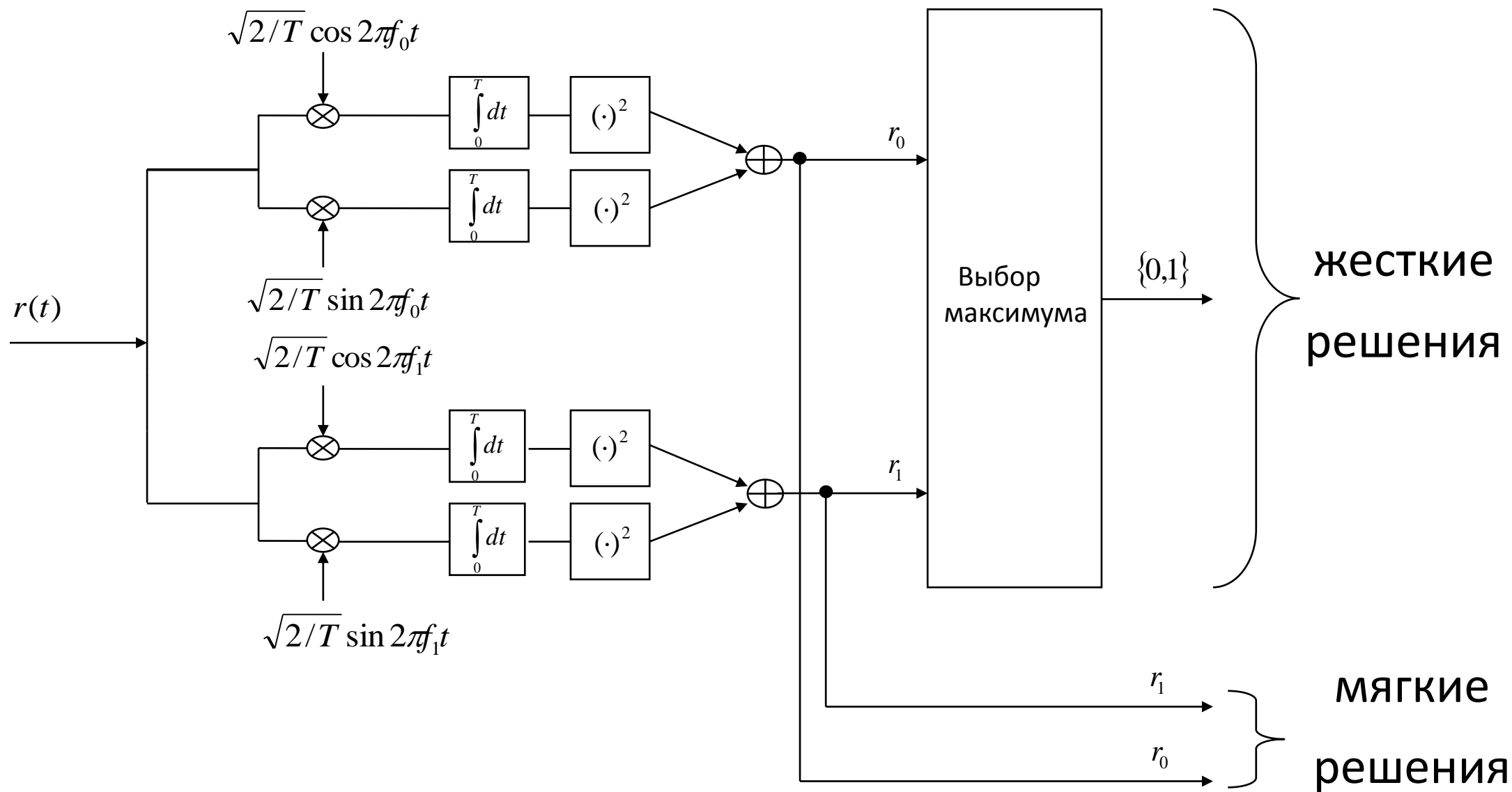
где

$$x_n = \rho x_{n-1} + \sqrt{1 - \rho^2} \xi_x,$$

$$y_n = \rho y_{n-1} + \sqrt{1 - \rho^2} \xi_y,$$

где  $\rho$  – коэффициент корреляции,  $\xi_x, \xi_y$  – гауссовские случайные величины с нулевым средним и единичной дисперсией.

# Оптимальный демодулятор



# Аппроксимация потока ошибок с использованием марковского приближения

$$p(\mathbf{e}) = p(e^{(1)})p(e^{(2)} | e^{(1)})p(e^{(3)} | e^{(2)}e^{(1)})...p(e^{(L-2)} | e^{(L-3)}e^{(L-4)}...e^{(1)}) \prod_{n=L-1}^N p(e^{(n)} | e^{(n-1)}e^{(n-2)}...e^{(n-L)}),$$

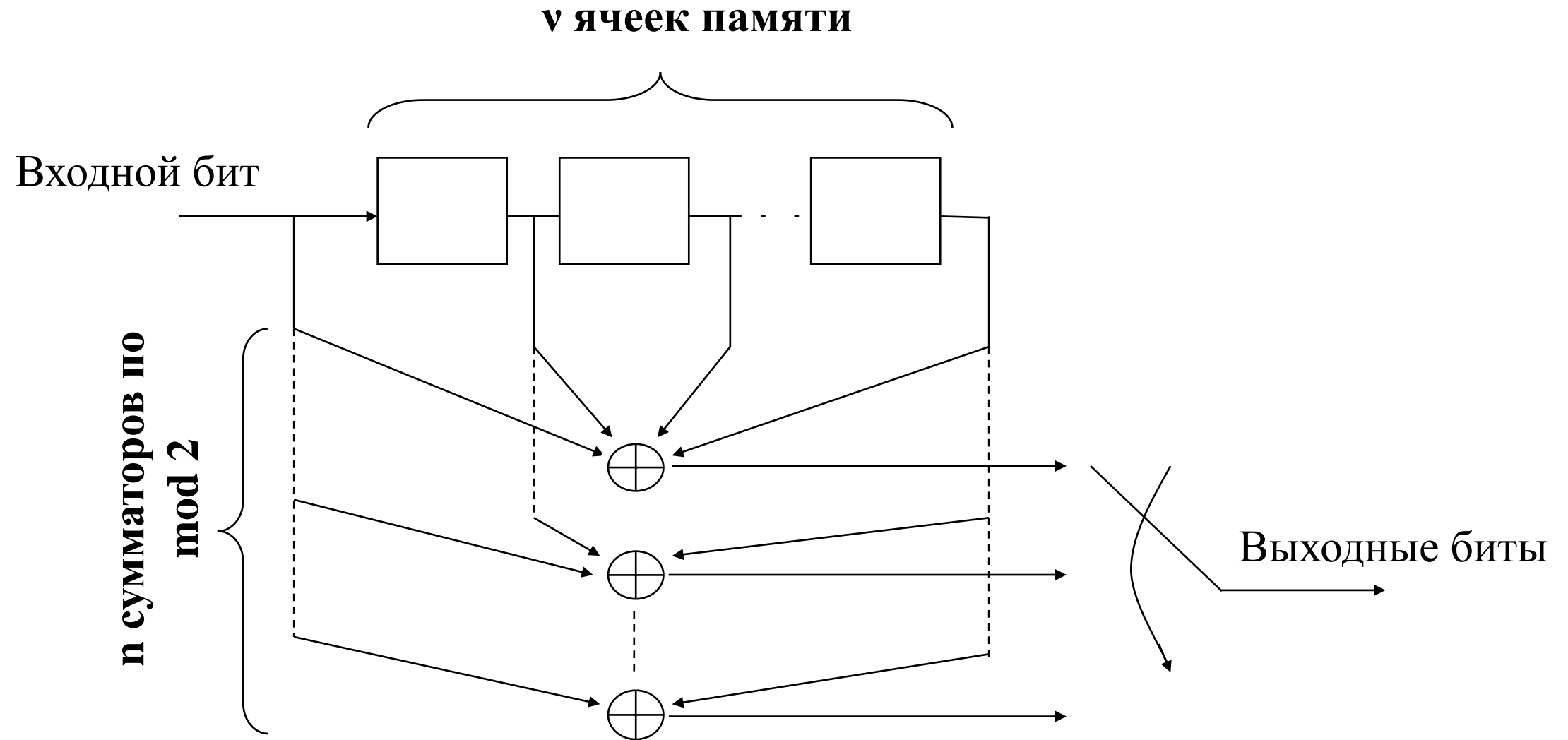
где  $L$  - связность марковской цепи.

Расстояние Бхаттачария между двумя распределениями имеет вид

$$d_{bhat}(p, \tilde{p}) = -\log \sum_{\bar{e}} \sqrt{p(\mathbf{e})\tilde{p}(\mathbf{e})},$$

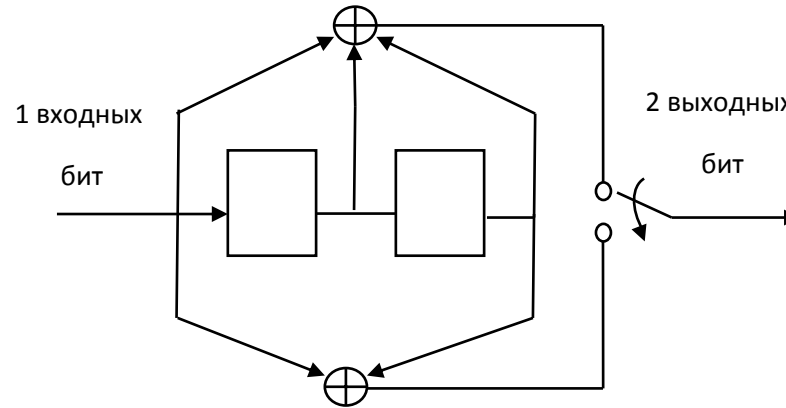
где  $p(\mathbf{e})$  - истинное распределение,  $\tilde{p}(\mathbf{e})$  - оценка с использованием марковского приближения.

# Сверточный кодер с $R=1/n$

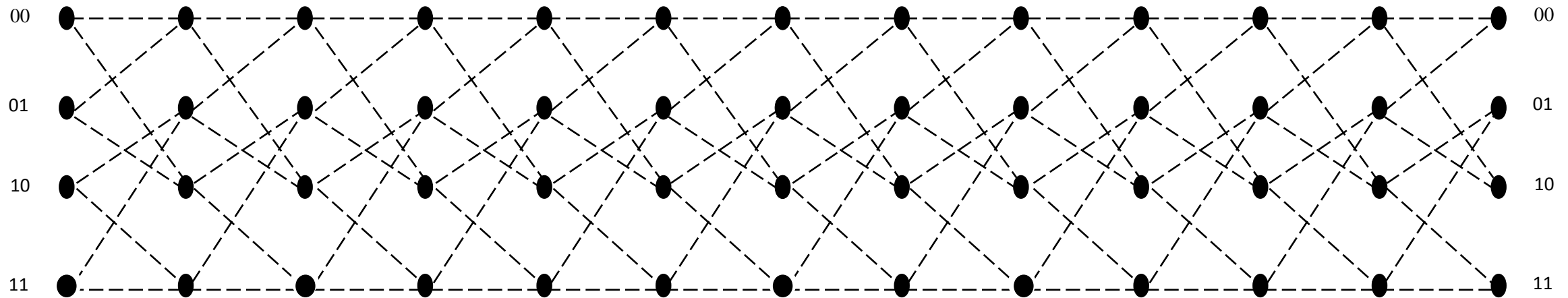


# Решетчатая диаграмма

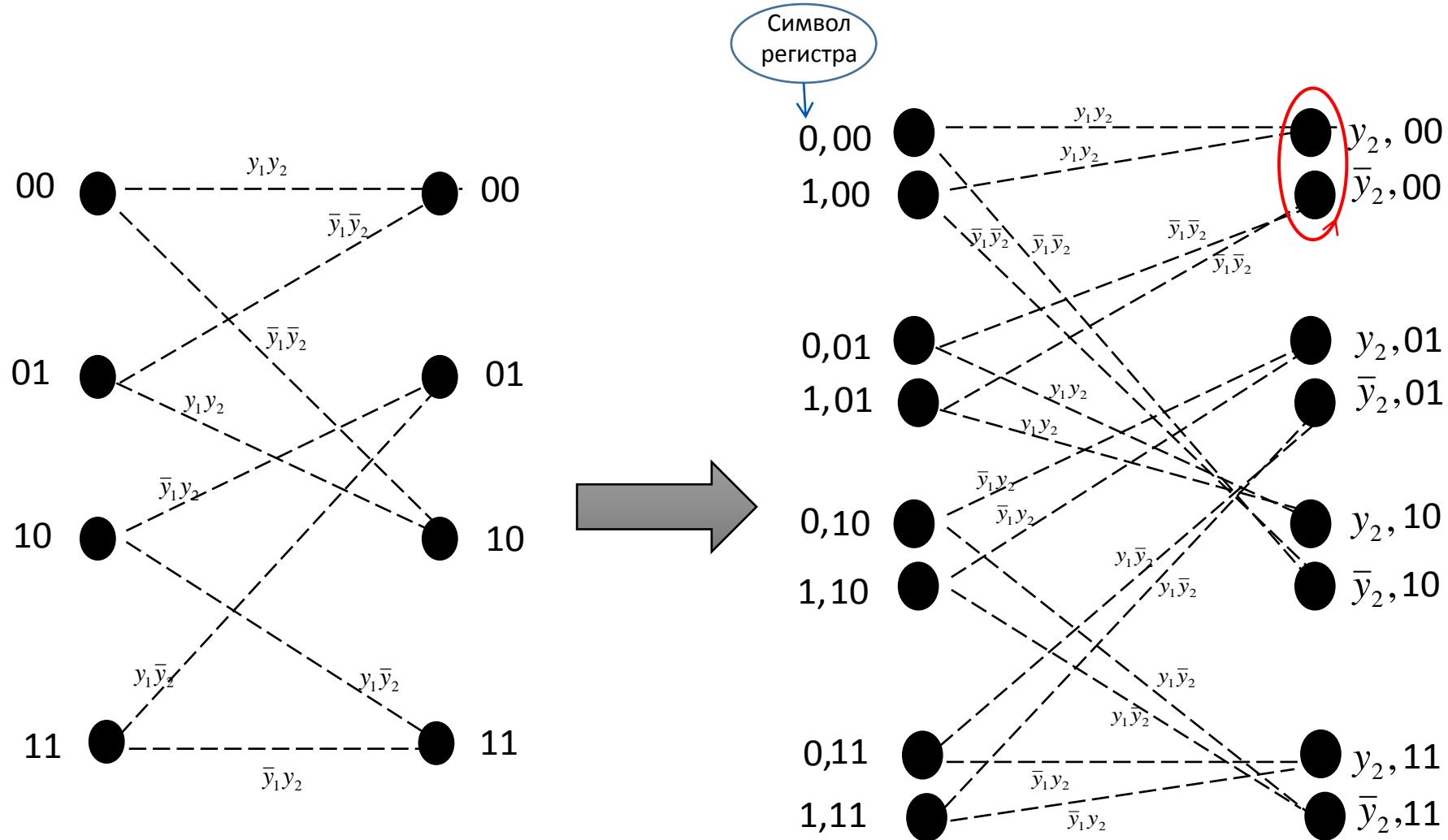
Сверточный кодер с  $g = (7,5)$  и кодовым ограничением  $v = 2$



Структура кодовой решетки



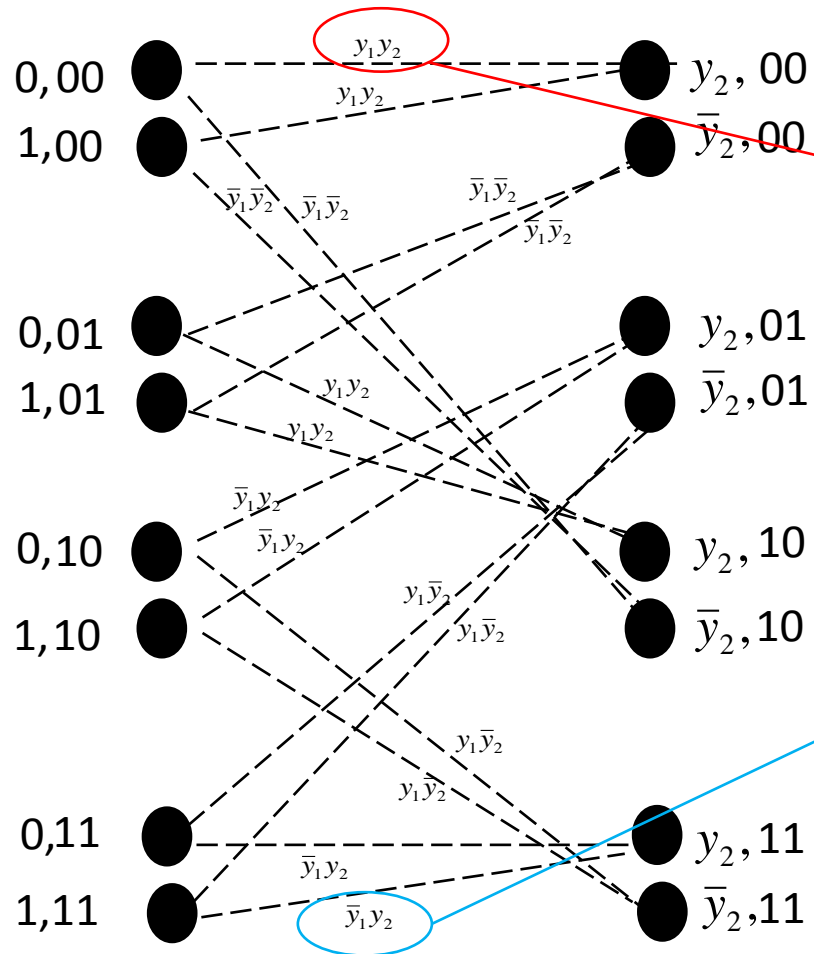
# Модифицированная кодовая решетка с учетом памяти канала для жестких решений демодулятора



где  $y_1 y_2$  — суммы принятого сегмента и меток ребер.



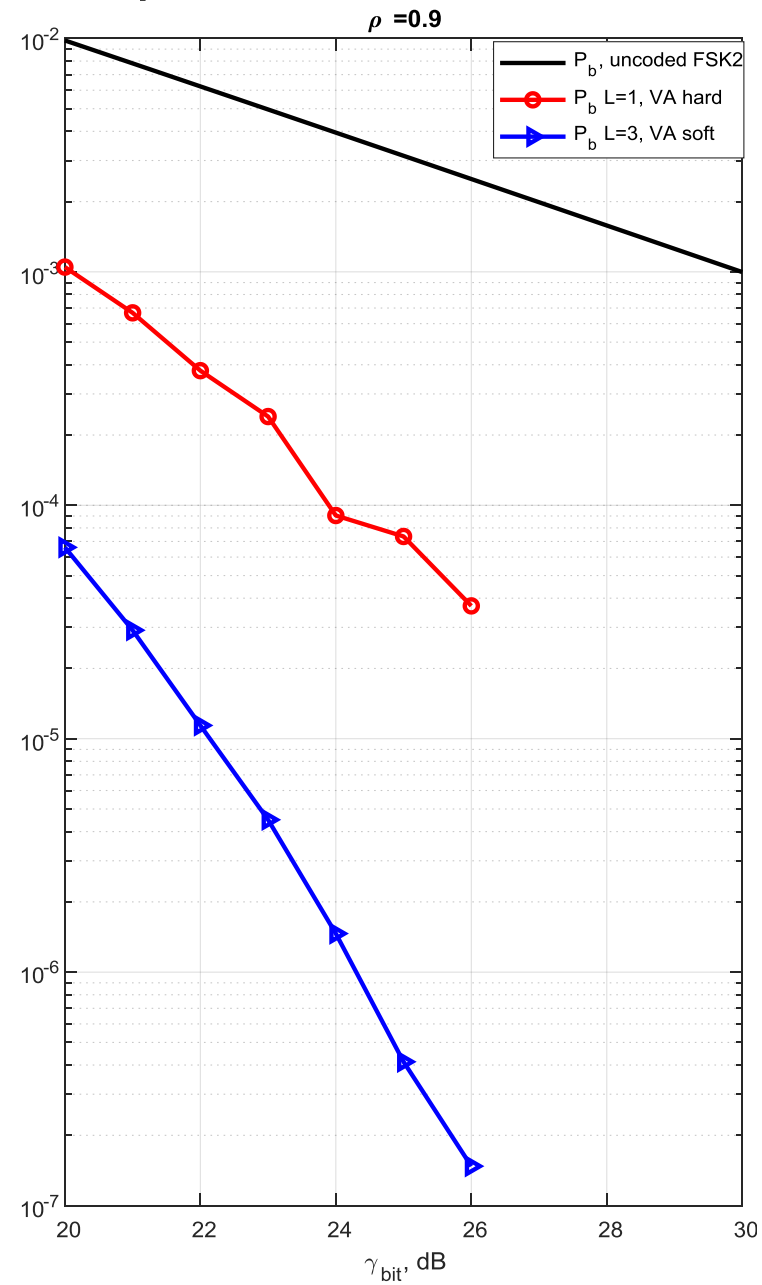
# Вычисление метрики ребра в модифицированной решетке



$$\log p(y_1 | 0) + \log p(y_2 | y_1)$$

$$\log p(y_1 | 1) + \log p(y_2 | y_1)$$

# Вероятность ошибки на бит



# Передача последовательности сигналов

Последовательность переданных сигнальных точек:

$$\mathbf{s} = (\mathbf{s}^{(1)}, \mathbf{s}^{(2)}, \dots, \mathbf{s}^{(N)}), \mathbf{s}^{(l)} \in \{\mathbf{s}_i\}_{i=0}^{q-1},$$

Последовательности на приемной стороне

$$\mathbf{R}_c = (\mathbf{r}_c^{(1)}, \mathbf{r}_c^{(2)}, \dots, \mathbf{r}_c^{(N)})$$

$$\mathbf{R}_s = (\mathbf{r}_s^{(1)}, \mathbf{r}_s^{(2)}, \dots, \mathbf{r}_s^{(N)})$$

где

$$\mathbf{r}_c = x\mathbf{s}_i + \mathbf{n}_c$$

$$\mathbf{r}_s = y\mathbf{s}_i + \mathbf{n}_s$$

# Корреляционная матрица

Внутри последовательности  $\mathbf{R}_c$  «содержится» вектор  $\mathbf{x} = (x^{(1)}, x^{(2)}, \dots, x^{(N)})$ , а внутри последовательности  $\mathbf{R}_s$  «содержится» вектор  $\mathbf{y} = (y^{(1)}, y^{(2)}, \dots, y^{(N)})$ .

Векторы  $\mathbf{x}$  и  $\mathbf{y}$  – независимые друг от друга случайные гауссовские векторы с нулевыми средними. Внутри вектора  $\mathbf{x}$  и внутри вектора  $\mathbf{y}$  имеется зависимость, которая задается корреляционной матрицей  $\mathbf{\Lambda}$ , которая имеет следующий вид:

$$\mathbf{\Lambda} = [\lambda_{mk}] = \left[ \overline{x^{(k)} x^{(m)}} \right] = \left[ \overline{y^{(k)} y^{(m)}} \right], \quad m, k = 1, 2, \dots, N.$$

В данной работе параметр  $\lambda_{mk}$  равен  $(1/2)\rho^{|k-m|}$ ,  $\rho \in [0;1]$

## Оптимальный прием последовательности

$$\hat{\mathbf{s}} = \arg \max_{\mathbf{s}} w(\mathbf{R}_c, \mathbf{R}_s | \mathbf{s})$$

$$\hat{\mathbf{s}} = \arg \max_{\mathbf{s}} (\boldsymbol{\rho}_c(\mathbf{s}) \mathbf{C} \boldsymbol{\rho}_c(\mathbf{s})^T + \boldsymbol{\rho}_s(\mathbf{s}) \mathbf{C} \boldsymbol{\rho}_s(\mathbf{s})^T),$$

здесь  $\mathbf{C}$  - квадратная матрица вида

$$\mathbf{C} = 2\gamma\mathbf{\Lambda}(\mathbf{I} + 2\gamma\mathbf{\Lambda})^{-1},$$

где

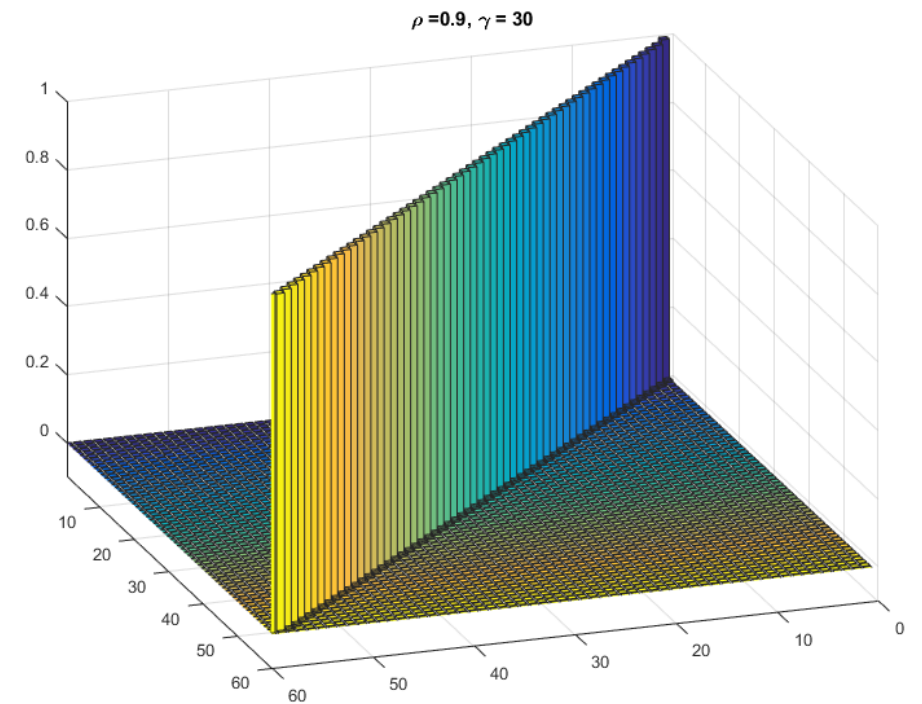
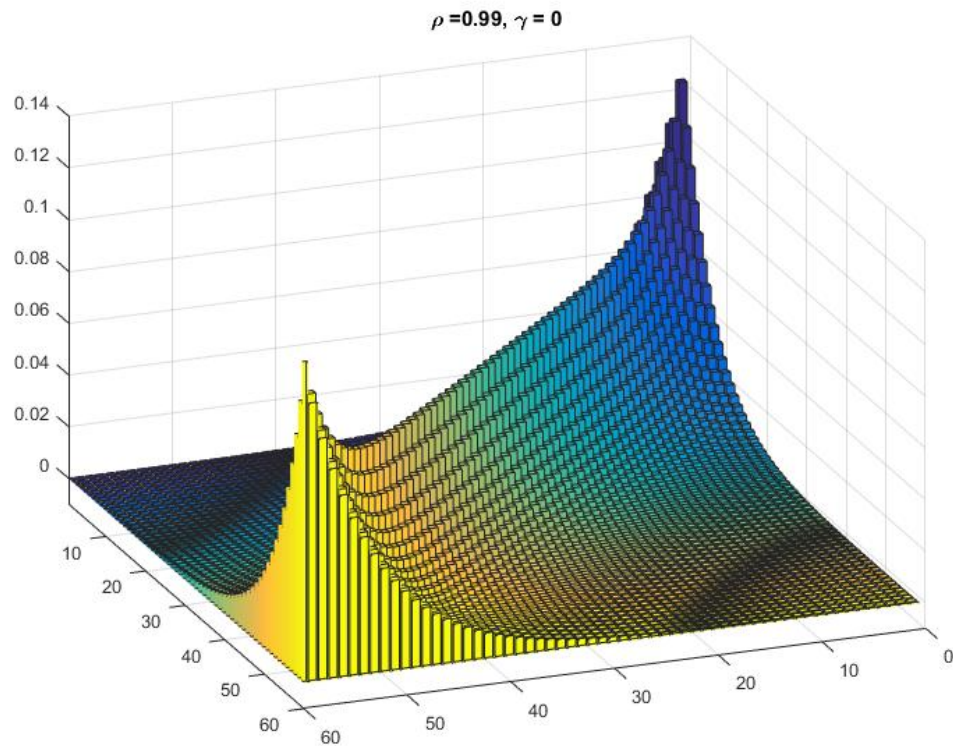
$$\boldsymbol{\rho}_c(\mathbf{s}) = (\rho_c(\mathbf{s}^{(1)}), \rho_c(\mathbf{s}^{(2)}), \dots, \rho_c(\mathbf{s}^{(N)})),$$

$$\boldsymbol{\rho}_s(\mathbf{s}) = (\rho_s(\mathbf{s}^{(1)}), \rho_s(\mathbf{s}^{(2)}), \dots, \rho_s(\mathbf{s}^{(N)})),$$

где

$$\rho_c(\mathbf{s}^{(l)}) = (\mathbf{r}_c^{(l)}, \mathbf{s}^{(l)}), \quad \rho_s(\mathbf{s}^{(l)}) = (\mathbf{r}_s^{(l)}, \mathbf{s}^{(l)}), \quad l = 1, 2, \dots, N.$$

# Матрица С



## Структура матрицы $\mathbf{C}$

$$\begin{array}{cccccccccccccccccccc}
 \dots & \dots & \dots & \dots & \dots & \dots & \dots & \dots & \dots & \dots & \dots & \dots & \dots & \dots & \dots & \dots & \dots \\
 0 & \dots & 0 & c_{L-1} & c_{L-2} & \dots & c_2 & c_1 & c_0 & c_1 & c_2 & \dots & c_{L-2} & c_{L-1} & 0 & 0 & 0 & 0 & \dots & 0 \\
 0 & \dots & 0 & 0 & c_{L-1} & c_{L-2} & \dots & c_2 & c_1 & c_0 & c_1 & c_2 & \dots & c_{L-2} & c_{L-1} & 0 & 0 & 0 & \dots & 0 \\
 0 & \dots & 0 & 0 & 0 & c_{L-1} & c_{L-2} & \dots & c_2 & c_1 & c_0 & c_1 & c_2 & \dots & c_{L-2} & c_{L-1} & 0 & 0 & \dots & 0 \\
 0 & \dots & 0 & 0 & 0 & 0 & c_{L-1} & c_{L-2} & \dots & c_2 & c_1 & c_0 & c_1 & c_2 & \dots & c_{L-2} & c_{L-1} & 0 & \dots & 0 \\
 \dots & \dots & \dots & \dots & \dots & \dots & \dots & \dots & \dots & \dots & \dots & \dots & \dots & \dots & \dots & \dots & \dots & \dots & \dots
 \end{array}$$

Где  $L$  – величина определяющая ширину ненулевой полосы матрицы  $\mathbf{C}$

$$\mathbf{\rho}_c(\mathbf{s})\mathbf{C}\mathbf{\rho}_c(\mathbf{s})^T = \sum_k \left( c_0 \left( \rho_c^{(k)} \right)^2 + 2\rho_c^{(k)} \sum_{i=1}^{L-1} c_i \rho_c^{(k-i)} \right)$$

$$\mathbf{\rho}_s(\mathbf{s})\mathbf{C}\mathbf{\rho}_s(\mathbf{s})^T = \sum_k \left( c_0 \left( \rho_s^{(k)} \right)^2 + 2\rho_s^{(k)} \sum_{i=1}^{L-1} c_i \rho_s^{(k-i)} \right)$$

## Пример вычисления квадратичной формы для $R=1/2$

$$b^{(1)} \rightarrow x^{(1)}, x^{(2)} \rightarrow (\rho_c^{(1)}, \rho_s^{(1)}), (\rho_c^{(2)}, \rho_s^{(2)})$$

$$b^{(2)} \rightarrow x^{(3)}, x^{(4)} \rightarrow (\rho_c^{(3)}, \rho_s^{(3)}), (\rho_c^{(4)}, \rho_s^{(4)})$$

...

$$b^{(l)} \rightarrow x^{(2l-1)}, x^{(2l)} \rightarrow (\rho_c^{(2l-1)}, \rho_s^{(2l-1)}), (\rho_c^{(2l)}, \rho_s^{(2l)})$$

...

для значения кодового ограничения  $v=2$  :

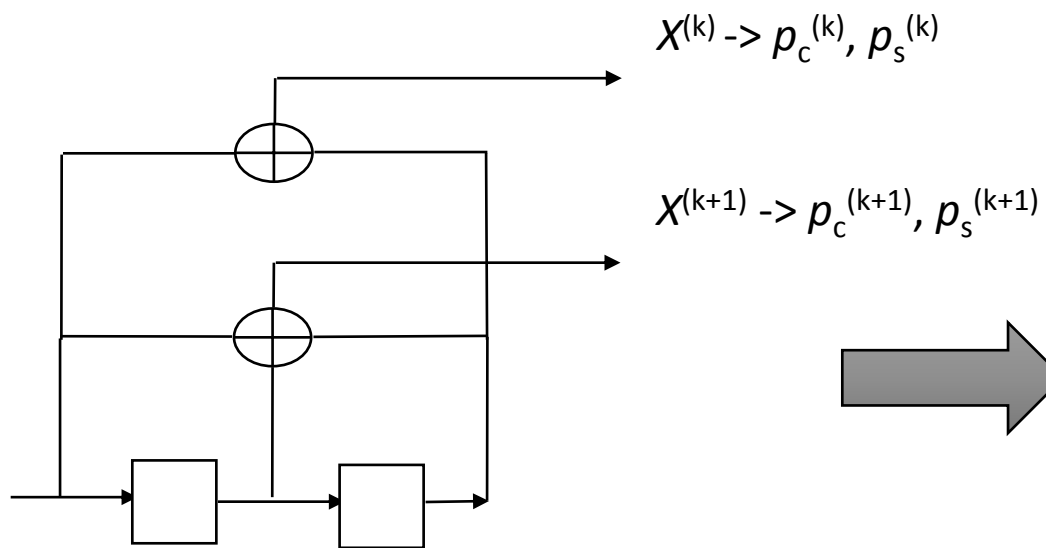
$$\begin{array}{cccccc} \dots & \rho_c^{(3)} \rho_c^{(4)} & \vdots & \rho_c^{(5)} \rho_c^{(6)} & \vdots & \rho_c^{(7)} \rho_c^{(8)} & \vdots & \rho_c^{(9)} \rho_c^{(10)} & \vdots & \rho_c^{(11)} \rho_c^{(12)} & \vdots & \dots \\ \dots & x^{(3)} x^{(4)} & \vdots & x^{(5)} x^{(6)} & \vdots & x^{(7)} x^{(8)} & \vdots & x^{(9)} x^{(10)} & \vdots & x^{(11)} x^{(12)} & \vdots & \dots \\ & b^{(2)} b^{(1)} b^{(0)} & \vdots & b^{(3)} b^{(2)} b^{(1)} & \vdots & b^{(4)} b^{(3)} b^{(2)} & \vdots & b^{(5)} b^{(4)} b^{(3)} & \vdots & b^{(6)} b^{(5)} b^{(4)} & \vdots & \end{array}$$

для  $L = 3$  :

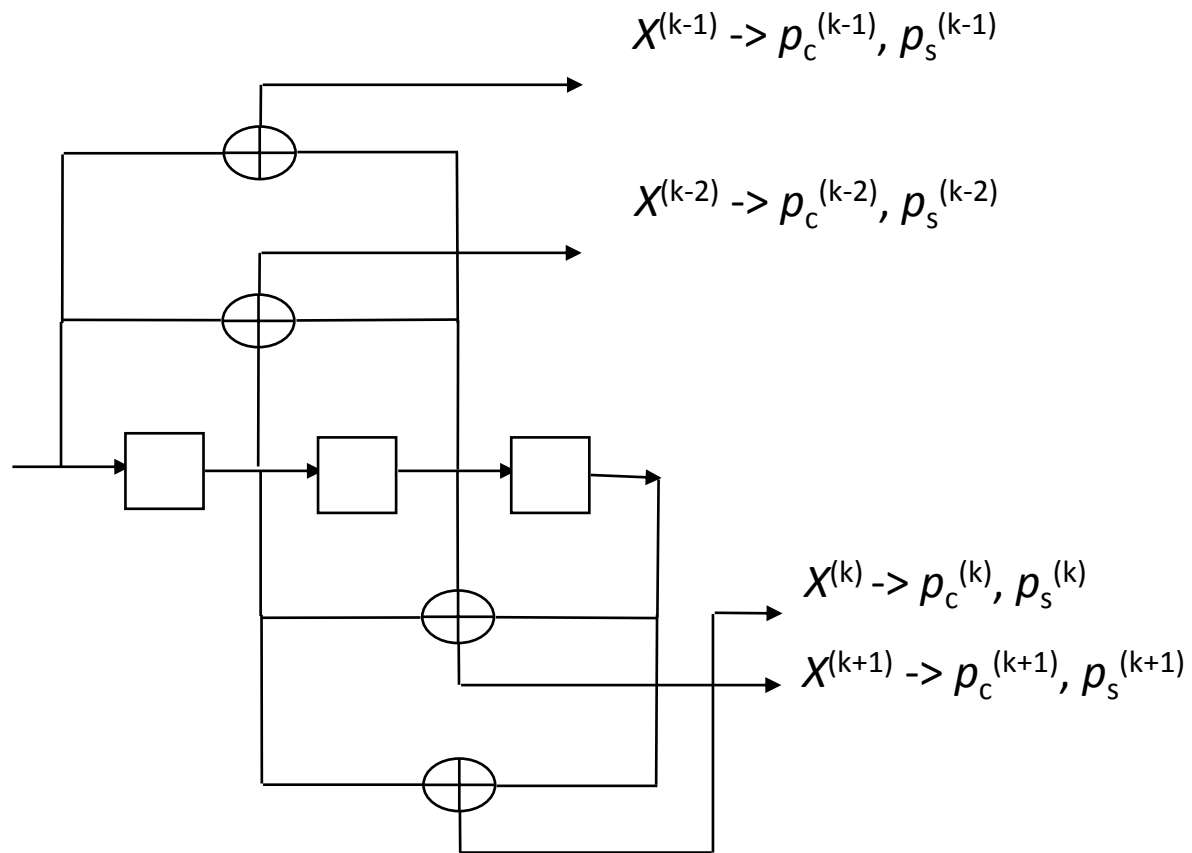
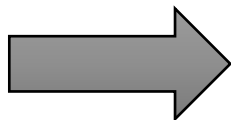
$$c_0 \left( \rho_c^{(7)} \right)^2 + 2 \rho_c^{(7)} \left( c_1 \rho_c^{(6)} + c_2 \rho_c^{(5)} \right) + c_0 \left( \rho_c^{(8)} \right)^2 + 2 \rho_c^{(8)} \left( c_1 \rho_c^{(7)} + c_2 \rho_c^{(6)} \right)$$



# Построение измененной решетки (кодер и псевдокодер)

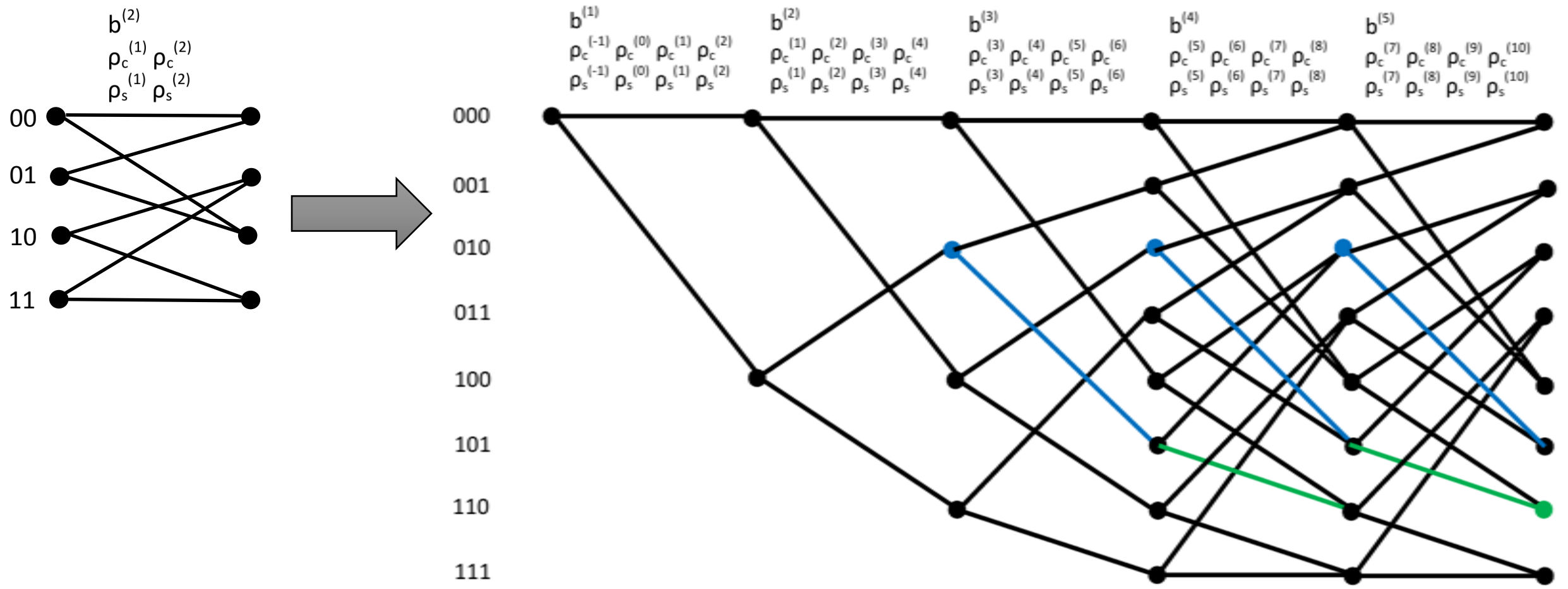


Пример кодера

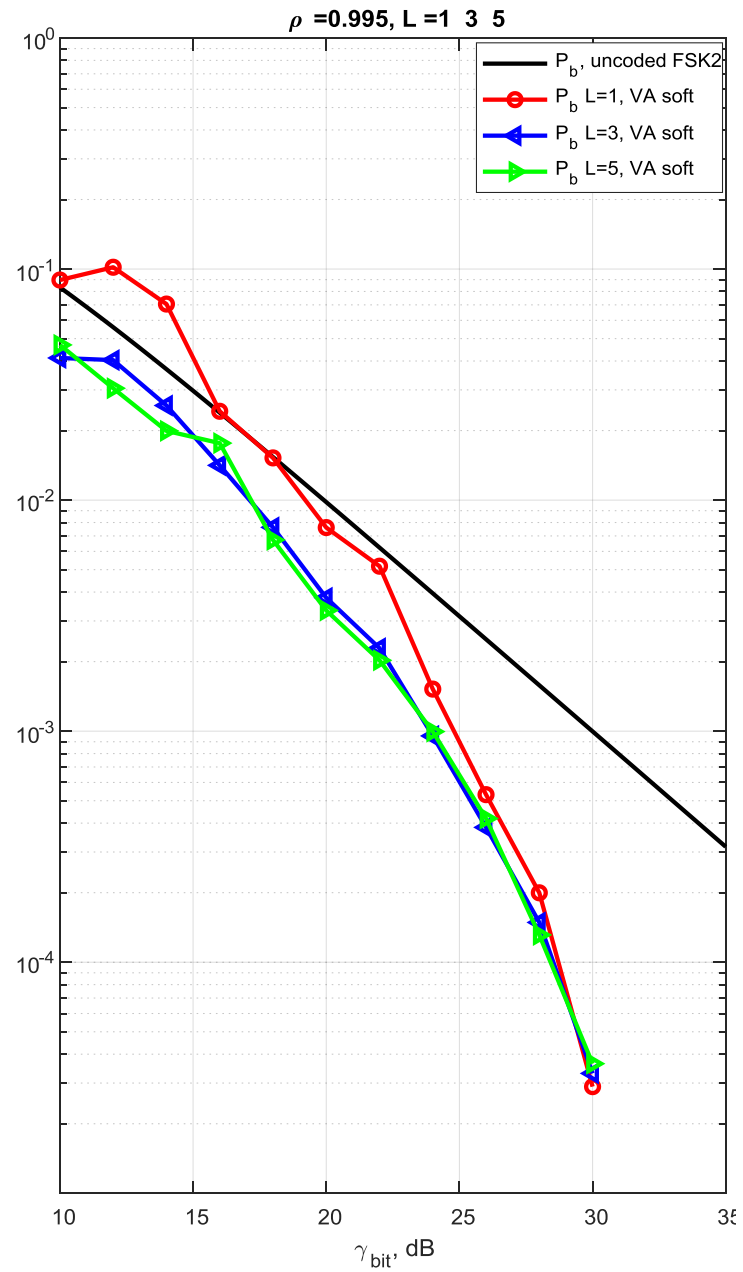


Пример псевдокодера

# Модифицированная кодовая решетка с учетом памяти канала для мягких решений демодулятора

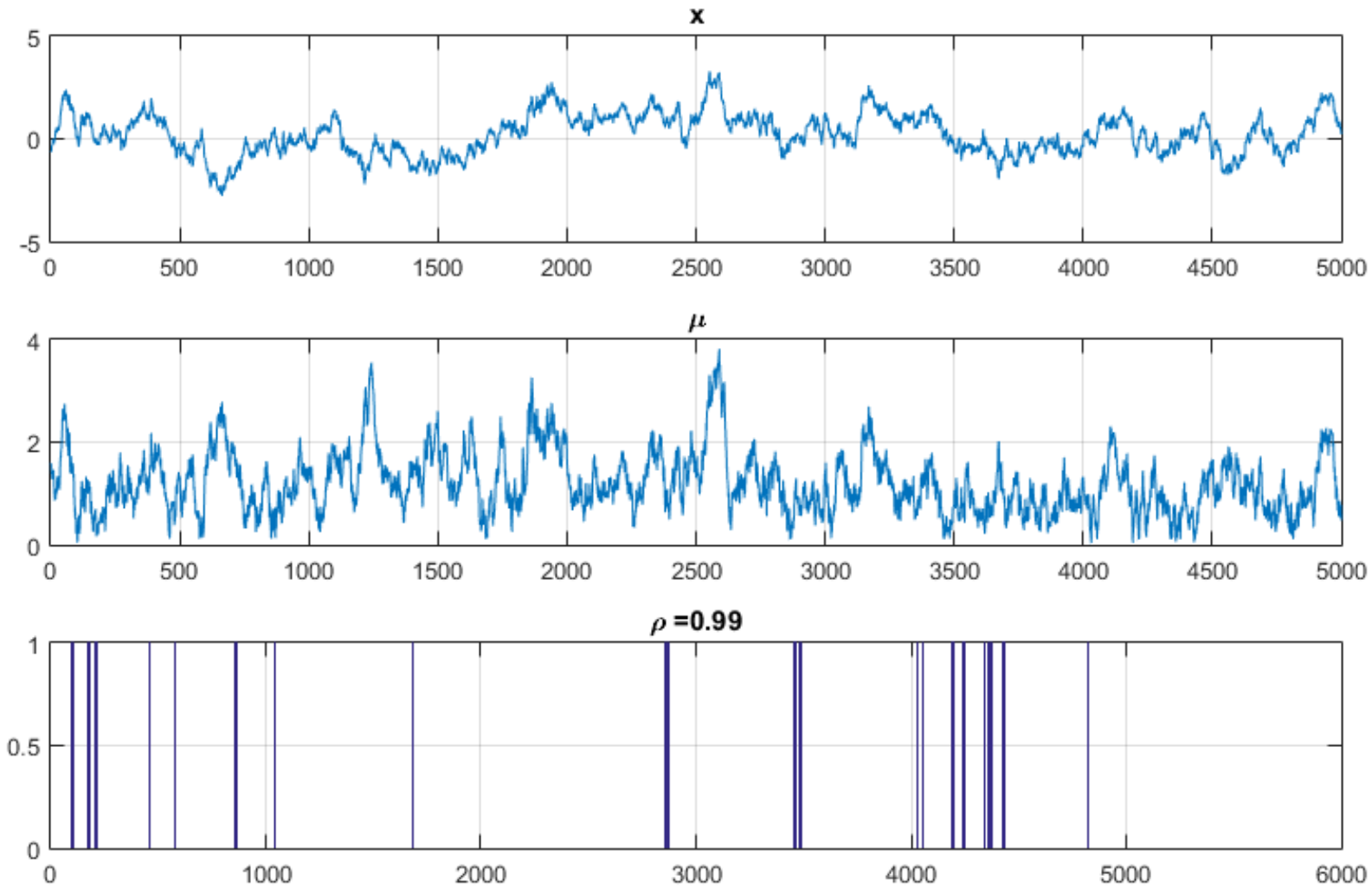


# Вероятность ошибки на бит

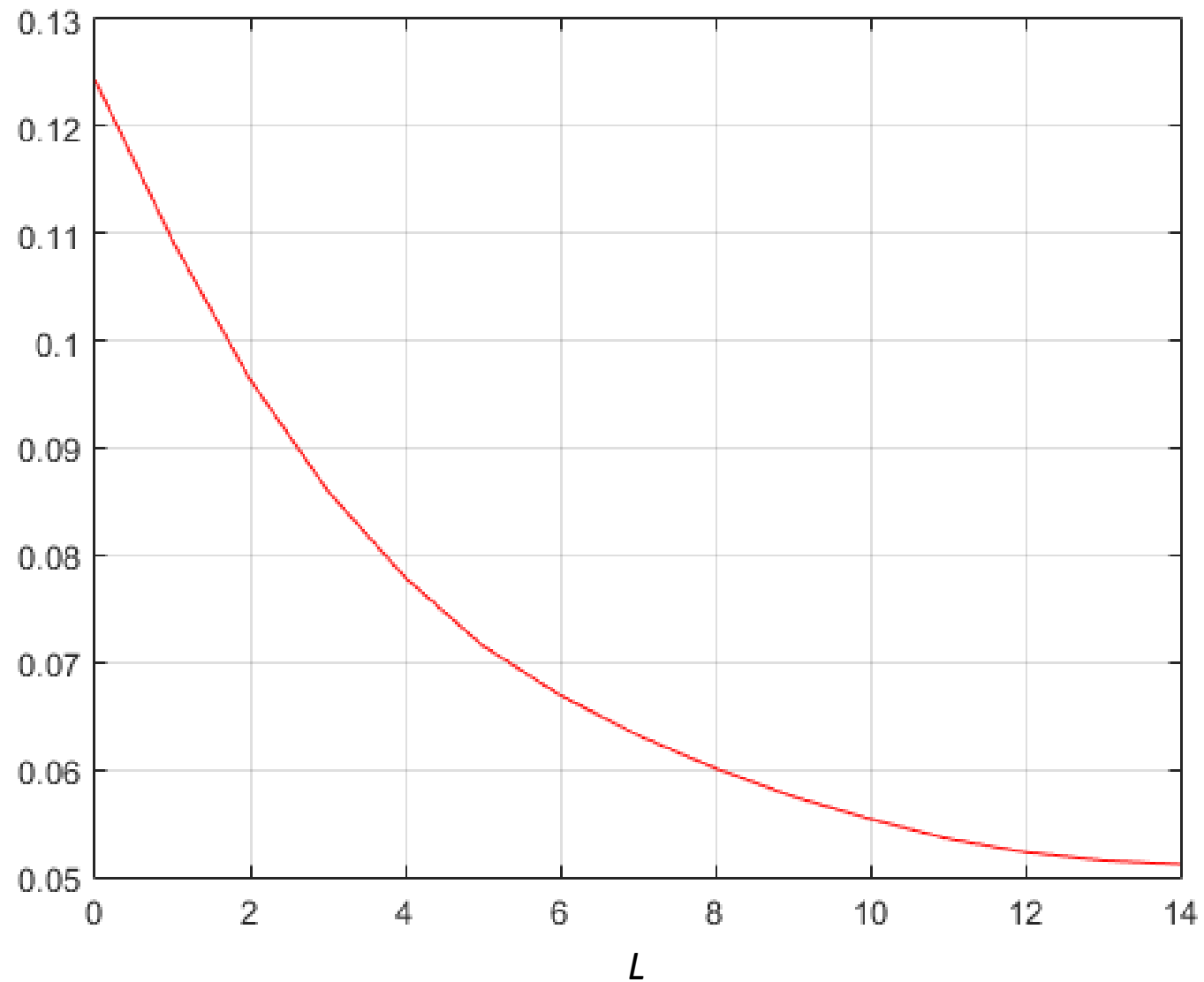


**СПАСИБО ЗА ВНИМАНИЕ!**

# Поток ошибок в зависимости от $\rho$



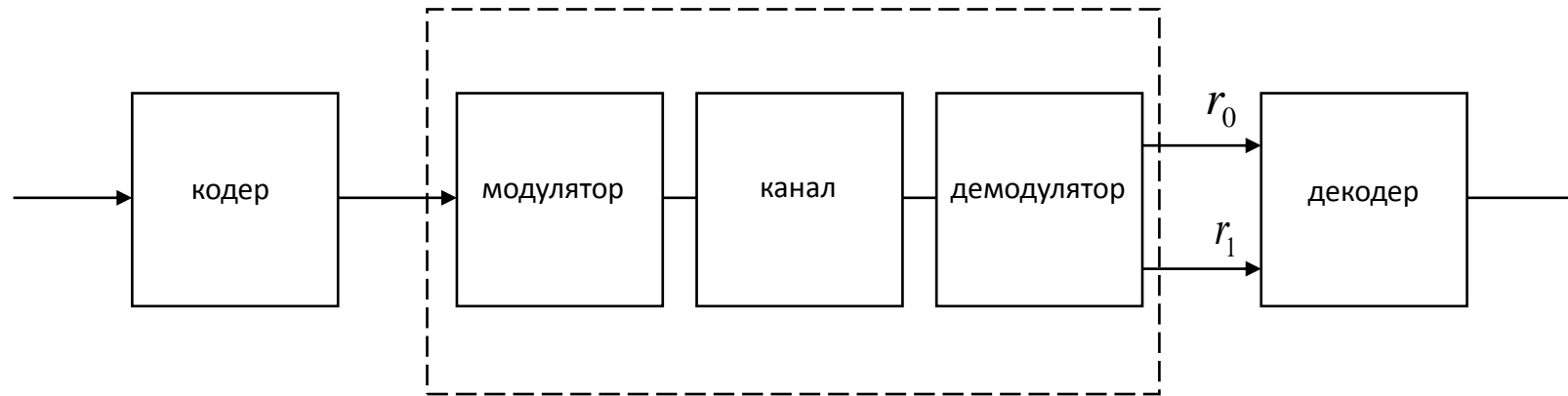
# Расстояние Бхаттачария между распределениями $p(e)$ и $\tilde{p}(e)$



## Подробное описание оптимального правила приема

$$\begin{aligned}
 \hat{\mathbf{s}} &= \arg \max_s (\boldsymbol{\rho}_c(\mathbf{s}) \mathbf{C} \boldsymbol{\rho}_c(\mathbf{s})^T + \boldsymbol{\rho}_s(\mathbf{s}) \mathbf{C} \boldsymbol{\rho}_s(\mathbf{s})^T) = \\
 &= \arg \max_s \left( \sum_{k=0}^{N-1} \rho_c(s^{(k)})^2 C_0 + 2 \sum_{k=0}^{N-1} \rho_c(s^{(k)}) \sum_{i=1}^k C_i \rho_c(s^{(k-i)}) + \sum_{k=0}^{N-1} \rho_s(s^{(k)})^2 C_0 + 2 \sum_{k=0}^{N-1} \rho_s(s^{(k)}) \sum_{i=1}^k C_i \rho_s(s^{(k-i)}) \right) = \\
 &= \arg \max_s \sum_{k=0}^{N-1} \left( \rho_c(s^{(k)})^2 C_0 + 2 \rho_c(s^{(k)}) \sum_{i=1}^k C_i \rho_c(s^{(k-i)}) + \rho_s(s^{(k)})^2 C_0 + 2 \rho_s(s^{(k)}) \sum_{i=1}^k C_i \rho_s(s^{(k-i)}) \right) = \\
 &= \left| \text{т.к. } C_i = 0, \text{ при } i \geq L \right| = \\
 &= \arg \max_s \sum_{k=0}^{N-1} \left( \rho_c(s^{(k)})^2 C_0 + 2 \rho_c(s^{(k)}) \sum_{i=1}^L C_i \rho_c(s^{(k-i)}) + \rho_s(s^{(k)})^2 C_0 + 2 \rho_s(s^{(k)}) \sum_{i=1}^L C_i \rho_s(s^{(k-i)}) \right)
 \end{aligned}$$

# Эквивалентная модель канала



при передаче 0

$$r_0 = \left( \sqrt{\frac{2E}{N_0}} x + n_{c0}^{\text{норм}} \right)^2 + \left( \sqrt{\frac{2E}{N_0}} y + n_{s0}^{\text{норм}} \right)^2,$$
$$r_1 = (n_{c1}^{\text{норм}})^2 + (n_{s1}^{\text{норм}})^2,$$

при передаче 1

$$r_0 = (n_{c0}^{\text{норм}})^2 + (n_{s0}^{\text{норм}})^2,$$
$$r_1 = \left( \sqrt{\frac{2E}{N_0}} x + n_{c1}^{\text{норм}} \right)^2 + \left( \sqrt{\frac{2E}{N_0}} y + n_{s1}^{\text{норм}} \right)^2,$$

где  $n_{c0}^{\text{норм}}, n_{s0}^{\text{норм}}, n_{c1}^{\text{норм}}, n_{s1}^{\text{норм}}$  – гауссовские случайные величины с 0 средним и 1 дисперсией,  $x = \mu \cos \theta$ ,  $y = \mu \sin \theta$ .